УДК 551.465

И.М.Левин<sup>1</sup>, Л.С.Долин<sup>2</sup>, Т.М.Радомысльская <sup>1</sup>

## ДАЛЬНОСТЬ ВИДИМОСТИ КРУПНЫХ ПОДВОДНЫХ ОБЪЕКТОВ ПРИ ВИЗУАЛЬНОМ НАБЛЮДЕНИИ ИЗ ВОЗДУХА ЧЕРЕЗ ВЗВОЛНОВАННУЮ ПОВЕРХНОСТЬ МОРЯ

Рассмотрена задача расчета видимости достаточно крупного объекта, находящегося в толще воды, при визуальном наблюдении с заданной высоты над поверхностью моря. Предполагалось, что известен минимальный набор данных об условиях наблюдения: параметры объекта, высота Солнца, метеорологическая дальность видимости, скорость ветра и прозрачность воды по диску Секки. Приведена методика расчета по этим данным дальности видимости с учетом влияния на нее поверхностного волнения. Даны примеры расчета дальности видимости объектов с минимальным размером 10 и 20 м для заданных метеорологических условий.

Теория инструментального (телевизионного, лазерного) видения подводных объектов, в том числе видение из атмосферы, разработана достаточно подробно и отражена в многочисленных статьях, монографиях [1, 2] и обзорах [3, 4]. В настоящей статье мы впервые применяем эту теорию к случаю визуального наблюдения из атмосферы (с авианосителя) через взволнованную поверхность моря.

Наблюдение подводных объектов (в частности, шельфа) с авианосителя, с одной стороны, имеет существенные преимущества по сравнению с подводным или корабельным наблюдением, так как обеспечивает гораздо большую производительность осмотра. Действительно, при том же угле обзора системы площадь участка дна, попадающего в поле зрения с высоты H, примерно в  $(H/z)^2$  раз больше, чем при наблюдении с поверхности моря. Так как H измеряется в километрах, а z (глубина, на которой виден объект) - в лучшем случае в десятках метров, а скорость движения авианосителя гораздо больше, чем подводного аппарата или корабля, то выигрыш в производительности осмотра (следовательно, и в экономии топлива и других ресурсов) оказывается очень большим. С другой стороны, взволнованная поверхность моря является источником дополнительных шумов, возникающих из-за флуктуаций поступающего на приемник светового излучения от объекта, толщи воды и отраженного от поверхности света, вызванных волнением и, кроме того, она приводит к существенным искажениям изображения из-за преломления отраженного от объекта света на участках поверхности, имеющих случайный наклон.

Визуальное наблюдение отличается от инструментального не только особенностями глаза как приемника излучения, но и способностью глаза осуществлять фильтрацию изображения, уменьшающую флуктуации изображения, вызванные волнением. Для объектов относительно малых размеров искажения изображения из-за преломления отраженного от объекта света на случайно ориентированных участках поверхности моря могут до неузнаваемости исказить структуру изображения, так что наблюдение становится невозможным даже с небольшой высоты. Поэтому здесь мы ограничиваемся рассмотрением случаев наблюдения достаточно крупных (минимальный размер 10 м) объектов.

Основным параметром, характеризующим процесс наблюдения подводного объекта, является дальность видимости  $z_{np}$  ( $\psi$ ) - расстояние в воде, на котором еще различимы элементы объекта данной пространственной частоты  $\psi$  . Именно этой величине уделяется основное внимание в данной статье.

.

<sup>1</sup> Санкт-Петербургский филиал Института океанологии им.П.П.Ширшова РАН

<sup>&</sup>lt;sup>2</sup> Институт прикладной физики РАН (Нижний Новгород)

<sup>©</sup> Левин И.М., Долин Л.С., Радомысльская Т.М., 2009

**Связь дальности видимости с контрастной чувствительностью глаза.** При визуальном наблюдении видимость определяется контрастом изображения и пороговой контрастной чувствительностью глаза  $K'_{\rm np}$ . При этом под контрастом обычно понимают величину:

$$K' = (L_1 - L_2)/L_1$$
,

где  $L_1$  и  $L_2$  – видимые яркости соседних элементов наблюдаемого объекта, тогда как в теории инструментального видения контрастом называют величину:

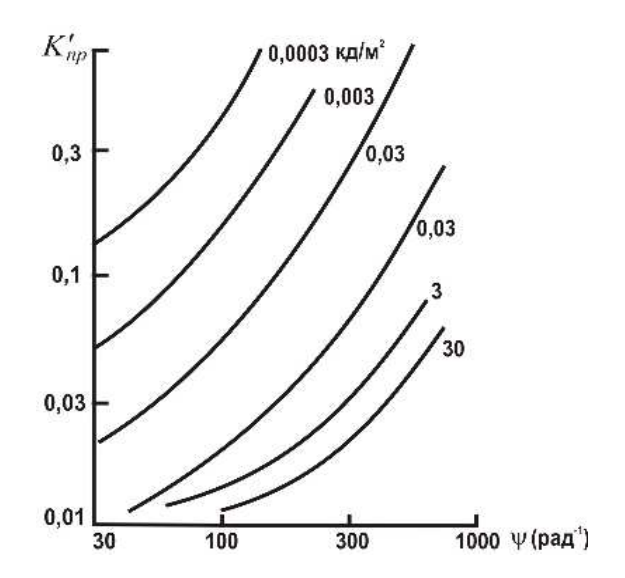
$$K = (L_1 - L_2)/(L_1 + L_2).$$
 (1)

Значения K и K' связаны соотношением:

$$K' = 2K/(1+K). \tag{2}$$

Пороговая контрастная чувствительность глаза  $K'_{np}$  (минимальный видимый контраст, при котором глаз распознает объект) зависит от яркости фона и угловой пространственной частоты.

В литературе можно встретить различные значения  $K'_{\rm пр}$ . В классической теории горизонтальной видимости в атмосфере [5, 6] принята величина  $K'_{\rm пр}=0.02$ . В некоторых работах, касающихся теории видимости диска Секки, используются значения  $K'_{\rm пр}=0.007$  [7] и даже  $K'_{\rm пр}=0.003$  [8]. Однако, мы считаем эти величины заведомо заниженными. Повидимому, наиболее подробное и адекватное описание зависимости порогового контраста глаза от яркости фона, на котором объект наблюдается, и от размеров разрешаемых элементов дано в монографии [9]. На рис. 1, заимствованном из [9], показана экспериментальная зависимость  $K'_{\rm пр}$  от яркости фона и угловой пространственной частоты  $\psi=z/2l$  (1/рад) (z — расстояние наблюдения, l — размер разрешаемого элемента на объекте). Из рисунка следует, если яркость фона более 30 кд/м $^2$  и  $\psi$  < 100 рад $^{-1}$ , то  $K'_{\rm пр}$  = const = 0.01.



**Рис. 1.** Зависимость контрастной чувствительности глаза  $K'_{np}$  от угловой пространственной частоты  $\psi = z/2l$  при различной яркости фона (цифры у кривых) [9]

Яркость фона 30 кд/м $^2$  соответствует при наблюдении моря облученности поверхности  $E_0 = 1000\text{-}2000$  лк. Согласно [10], даже при сплошной дождевой облачности облученность при высоте Солнца более  $5^\circ$  (зенитный угол  $\theta_0 < 85^\circ$ )  $E_0 > 3000$  лк. Вряд ли можно рассчитывать на то, что наблюдение будет проводиться на рассвете или закате (при  $\theta_0 > 80^\circ$  солнечные лучи почти полностью отражаются от поверхности и не проходят вглубь моря). Поэтому в дальнейшем полагаем, что яркость фона составляет более 30 кд/м $^2$  и не ограничивает контрастную чувствительность глаза.

Мы будем оценивать видимость крупных прямоугольных объектов с минимальным размером  $d_{\min} = 10$  м и произвольным максимальным размером  $d_{\max} >> d_{\min}$ . В телевидении считается, что на минимальный

размер объекта должно приходиться 5 элементов разрешения. В соответствии с критерием Джонсона [11], для уверенного обнаружения объекта достаточно иметь 2 элемента на минимальном размере объекта, а для распознавания – 8. Известно также, что при наблюдении узких протяженных объектов ( $d_{\min} \ll d_{\max}$ ) глаз производит пространственную фильтрацию и распознает такие объекты лучше, чем объекты с близкими размерами  $d_{\min}$  и  $d_{\max}$  Учитывая вышесказанное, будем считать, что для уверенного обнаружения нашего объекты

та достаточно иметь 2 элемента на его минимальном размере. Таким образом, для объекта с  $d_{\min} = 10$  м размер элемента разрешения l = 5 м.

При наблюдении из-под поверхности в надир угловая пространственная частота  $\psi > 100$  рад<sup>-1</sup> соответствует глубине погружения объекта  $z = 2l\psi > 1000$  м. При наблюдении из атмосферы с высоты H пространственная частота  $\psi_A$  определяется как [1]:

$$\psi_A = (H + z/n)/2l, \qquad (3)$$

где n = 1.33 — показатель преломления воды.

Поскольку обычно  $z \ll H$ ,  $\psi_A$  зависит в основном от высоты наблюдения. Для высоты наблюдателя  $H \ll 3$  км и предельной глубины видимости  $z \ll 50$  м, получим из (3), что  $\psi_A = 100\text{-}300$  рад $^{-1}$ . Из рис. 1 следует, что для такой частоты  $K'_{\text{пр}} \cong 0.01\text{-}0.02$ .

Пороговые контрасты глаза, приведенные на рис. 1, соответствуют стабильным условиям освещения. Величина  $K_{\rm пp} = 0.01$  при достаточной облученности и невысокой пространственной частоте получена и в лабораторных условиях при достаточном времени адаптации глаза наблюдателя [1]. Мы полагаем, что в естественных условиях, при наблюдении на флуктуирующем фоне и без адаптации, порог контрастной чувствительности зрения даже при малых пространственных частотах ближе к величине  $K_{\rm np} = 0.02$ , принятой в классической теории видимости в атмосфере [5, 6].Поэтому при H < 3 км целесообразно принять  $K_{\rm np} = 0.02$  независимо от высоты наблюдения, а при H > 3 км пользоваться формулой (3) и данными рис. 1.

Итак, под дальностью видимости  $z_{np}(\psi)$  и разрешающей способностью  $\psi_{np}(z)$  мы понимаем максимальное расстояние, на котором на данном объекте различимы элементы заданного размера (данной пространственной частоты), и максимальную пространственную частоту (минимальный размер элемента), которая различима на заданном расстоянии.

Для определения  $z_{\text{пр}}$  и  $\psi_{\text{пр}}$  при визуальном наблюдении надо найти зависимость видимого контраста K от z и  $\psi$ , а затем решить относительно z или  $\psi$  (при фиксированной другой переменной) уравнение:

$$K'(z, \psi) = K'_{nn}. \tag{4}$$

**Видимый контраст подводного объекта при наблюдении из атмосферы.** Видимый контраст элементов объекта выражается соотношением [1]:

$$K = \frac{K_0 k(\psi, z) k_s(\psi, z, H)}{F(1 + L_{d_0} / L_{oo})},$$
(5)

ГДе 
$$\frac{L_{\phi}}{L_{o\delta}} = \frac{(0.533\rho + \rho_s)T_A(H) + \rho_A/T_A^{\downarrow}(H)}{0.533T(z)RF_{np}\exp(-az)T_A(H)};$$
(6)

 $K_0$  — истинный контраст элементов объекта;  $k(\psi,z)$  — частотно-контрастная характеристика (ЧКХ) воды;  $k_s$  ( $\psi,z,H$ ) — изменение контраста из-за поверхностных волн; F — интеграл от функции рассеяния по поверхности объекта;  $L_\phi$  — видимая яркость фона, на котором виден объект;  $L_{o\delta}$  — видимая яркость объекта, коэффициент 0.533 учитывает изменение яркости при двойном прохождении излучения через границу раздела вода-воздух; T(z) — ослабление горизонтальной облученности в море с глубиной;  $T_A(H)$  и  $T_A^{\downarrow}(H)$  — пропускание слоя атмосферы высотой H для восходящего и нисходящего излучения; R — средний коэффициент отражения объекта; R — показатель поглощения света водой; R — коэффициент яркости моря:

$$\rho_s = (1 - y)\rho_s^{dir} + y\rho_s^{dif}; \qquad (7)$$

y — доля диффузного света неба в облученности поверхности;  $\rho_s^{dir}$  и  $\rho_s^{dif}$  — коэффициенты яркости поверхности для прямого и диффузного света ( $\rho_s^{dif}$  = 0.02 [1]);  $\rho_A$  — коэффициент яркости атмосферной дымки.

Заметим, что величина K в формуле (5) выражается формулой (1) и при сравнении ее с пороговым контрастом глаза  $K'_{\text{пр}}$  следует пересчитать K в K', пользуясь формулой (2).

Реальные объекты обычно бывают видимы за счет объемных деталей, дающих тени в изображении, что хорошо видно на фотографиях реальных подводных объектов. Тогда  $K_0 = 1$ , ЧКХ воды выражается простым соотношением [1]:

$$k(\psi, z) = \exp(-Abz), \tag{8}$$

$$A = 1 - (\psi^*)^{-1} \ln \left[ \psi^* + \sqrt{1 + (\psi^*)^2} \right], \tag{9}$$

где b – показатель рассеяния света в воде;  $\psi^* = 2\pi q \psi$  - приведенная пространственная частота; q – параметр аппроксимации индикатрисы рассеяния воды. Интеграл от функции рассеяния по поверхности объекта выражается соотношением [1]:

$$F(bz, q\theta_{o\tilde{o}}) = (q\theta_{o\tilde{o}}) \exp(-bz) \int_{0}^{\infty} (x + \sqrt{1 + x^2})^{bz/x} J_1(q\theta_{o\tilde{o}}x) x dx.$$
 (10)

Здесь  $2\theta_{06}$  – угловой размер (d/z) круглого объекта,  $J_1(.)$  – функция Бесселя 1 рода.

Пересчет приведенных значений  $F(bz, q\theta_{o6})$  для круглого объекта на значения  $F_{\rm пp}(bz, q\theta_{o6}^{\rm min})$ ,  $q\theta_{o6}^{\rm max}$ , для прямоугольного объекта с размерами  $d_{\rm min}$  и  $d_{\rm max}$ , и угловыми размерами  $2\theta_{o6}^{\rm min} = d_{\rm min}/z$  и  $2\theta_{o6}^{\rm max} = d_{\rm max}/z$  можно провести по следующей приближенной формуле:

$$F_{np} = F(bz, q\theta_{o\delta}^{\min}) + \frac{4}{\pi} [F(bz, q\theta_{o\delta}^{\max}) - F(bz, q\theta_{o\delta}^{\min})] (d_{\max} / d_{\min} + 1)^{-1},$$
(11)

где функция F(.) определяется по (10) или табл. 1 с заменой  $\theta_{ob}$  на  $\theta_{ob}^{min}$  на  $\theta_{ob}^{min}$ 

Таблица 1

## Коэффициенты яркости поверхности $\rho_s^{dir}$ (наблюдение в надир)

Зенитный угол	Скорость ветра $V$ , м/с				
Солнца $ heta_0^\circ$	0	2	5	10	15
0	1000	0.423	0.197	0.105	0.072
5	0	0.361	0.190	0.106	0.074
10	0	0.221	0.161	0.101	0.074
15	0	0.098	0.119	0.091	0.071
20	0	0.033	0.077	0.076	0.066
44	0	0	1.5 10 <sup>-3</sup>	0.01	0.021
59	0	0	0	4.9 10 <sup>-4</sup>	0.003

Для расчета входящих в формулу (6) параметров светового поля в воде (ослабление облученности в море T(z) и коэффициент яркости моря  $\rho$ ) удобно использовать решение уравнения переноса излучения в так называемом «квазиоднократном» приближении (КОП), предложенным независимо американским и российскими авторами [1]:

$$T(z) = \exp[-D_d(a+b_b)z], \tag{12}$$

где  $b_b$  - показатель обратного рассеяния, а коэффициент  $D_d$  [12]:

$$D_d = 1.04[(1-y)/\cos\theta_0' + 1.2y], \tag{13}$$

где  $\theta_0'$  - угол преломления солнечного света в воде  $(\sin\theta_0' = \sin\theta_0/n$ ,  $\theta_0$  - зенитный угол Солнца; n - показатель преломления воды). Для прямого солнечного излучения в (13) следует положить y=0, а для диффузного света неба y=1.

Как показали расчеты методом Монте-Карло [1], точность КОП достаточно высока до оптических глубин  $\tau = cz = 5$ -7, а с увеличением  $\tau$  его погрешность возрастает. Поэтому формулы (12), (13) в основном применяются для расчетов ослабления облученности в приповерхностном слое моря.

Вторая характеристика естественного светового поля, необходимая для расчета контраста, — коэффициент яркости моря  $\rho = \pi L_u/E(0)$ . Здесь  $L_u$  - восходящая яркость в точке наблюдения (непосредственно под поверхностью моря), E(0) - нисходящая облученность в той же точке.

Как показали расчеты методом Монте-Карло и натурные эксперименты, величина  $\rho$  может быть с достаточно высокой точностью рассчитана также в КОП:  $\rho = A_{\rm p}b_b/(a+b_b)$ . Коэффициент  $A_{\rm p}$  зависит от направления наблюдения, высоты Солнца и доли молекулярного рассеяния чистой водой в показателе рассеяния назад  $b_b$ . Формула для  $A_{\rm p}$ , учитывающая все эти факторы и проверенная расчетом методом Монте-Карло, приведена в [13]. Однако как показано там же, среднее значение  $A_{\rm p}$ =0.275 с разбросом  $\pm$ 5% справедливо для любых условий освещения. Другие авторы теоретически и экспериментально нашли близкие средние значения  $A_{\rm p}$ : 0.298 [14], 0.295 [15]. Далее будем пользоваться формулой:

$$\rho = 0.275 b_b / (a + b_b) \tag{14}$$

независимо от условий освещения.

В дальнейшем мы предполагаем, что ось визирования направлена в надир. Все формулы и результаты расчета при этом останутся справедливыми при небольших ( $\vartheta < 20^\circ$ ) углах визирования. Мы не рассматриваем случаи наблюдения при больших ( $\vartheta > 20^\circ$ ) углах визирования, так как, во-первых, при наблюдении из атмосферы поперечное сечение угла зрения на глубине нахождения объекта достаточно велико (по сравнению со случаем наблюдения из-под поверхности) и при вертикальном визировании. Во-вторых, при увеличении угла визирования увеличивается просматриваемая толща атмосферы и, соответственно, яркость атмосферной дымки, уменьшающая дальность видения.

Формулы (5)–(14) пригодны как при плоской, так и при взволнованной поверхности. Разными в этих двух случаях будут только значения коэффициента яркости поверхности и коэффициента  $k_{\, {
m c}}$ .

При плоской поверхности  $k_s = 1$ , а величина  $\rho$ s определяется только отражением света неба: прямой свет Солнца не попадает в поле зрения наблюдателя (мы не рассматриваем случай, когда Солнце близко к зениту, так как в этом случае солнечные блики могут сделать наблюдение невозможным). Тогда  $\rho_s^{dir} = 0$  и (7) принимает простой вид:

$$\rho_s = y \rho_s^{dif} = 0.02 y$$
.

При наличии волнения следует учитывать также коэффициент яркости взволнованной поверхности  $\rho_s^{dir}$  и дополнительное уменьшение контраста из-за флуктуаций яркости, вызванных волнением. Влияние волнения на видимость будет рассмотрено ниже.

Таким образом, для расчета контраста и ДВ при наблюдении из атмосферы, кроме параметров объекта и условий наблюдения, необходимо знать первичные гидрооптические характеристики воды (ПГХ): показатели поглощения (а), рассеяния (b) и обратного рассеяния ( $b_b$ ), параметр индикатрисы рассеяния воды (q), а также характеристики светового поля в океанической атмосфере: пропускание слоя атмосферы ТА(H) и  $T_A^{\downarrow}$  (H), коэффициент яркости атмосферной дымки  $\rho$ A(H)) и отношение диффузной и полной облученностей поверхности моря у.

Для определения перечисленных оптических параметров были разработаны простые оптические модели океана и океанической атмосферы.

**Оптические модели морской воды и океанической атмосферы.** Все  $\Pi\Gamma X$  и параметры светового поля в атмосфере, необходимые для расчета контраста, являются функциями длины волны  $\lambda$ . Однако, расчет визуальной видимости диска невооруженным глазом и при наблюдении через спектральные фильтры для вод различной мутности [16] пока-

зал, что для всех случаев визуальная («интегральная») дальность видимости невооруженным глазом (полученная интегрированием по спектру с учетом кривой видности глаза) с точностью в несколько процентов совпадает с дальностью видимости в точке 550 нм. Это означает, что в теории визуальной видимости мы можем использовать  $\Pi\Gamma X$  и оптические параметры атмосферы, соответствующие длине волны  $\lambda = 550$  нм.

*Модель оптических характеристик морской воды.* Несмотря на то, что изучению ПГХ в океане посвящено много работ, они изучены недостаточно, приборов для их измерения мало, а стандартных приборов вообще не существует. Единственной хорошо изученной характеристикой воды является не требующая специальных приборов и поэтому легко измеряемая прозрачность по диску Секи ( $z_d$ ). В литературе имеются подробные карты и атласы распределения  $z_d$  по Мировому океану для зимнего и летнего периодов [17, 18]. Поэтому с точки зрения возможности расчета контраста и ДВ в заданной точке Мирового океана важно иметь такую оптическую модель морской воды, которая позволяла бы находить все необходимые для расчета ПГХ, пользуясь только величиной  $z_d$ . Такая модель, входом в которую является прозрачность по диску Секки  $z_d$ , была разработана и описана ниже.

Приближенная связь между  $z_d$  и показателем ослабления c(550) [16]:

$$cz_d = (1 + F_1 D_d)^{-1} \ln(9.5 \cdot 10^{-4} y + 6.875 \cdot 10^{-3} F_2 / F_1).$$
 (15)

Коэффициенты  $F_1$  и  $F_2$  в формуле (15) зависят от типа воды. Для прибрежных вод типа «Case 2» по классификации Мореля:

$$F_1 = 0.074 + 0.048/c$$
,  $F_2 = 0.018$ ; (16)

для чистых океанских вод типа "Case 1":

$$F_1 = 0.0654 + 0.04845 / c$$
,  $F_2 = 0.0094 + 0.00045 / c$ . (17)

Уравнения (15)–(17) позволяют определить коэффициент ослабления c(550) по известным прозрачности по диску Секки, зенитному углу Солнца  $\theta_0$ , доле диффузного света в облученности поверхности v.

Заметим, что точность изложенной теории диска Секки (порядка 10%) подтверждена экспериментами (одновременное измерение  $z_d$  и c(550) в Черном море). [16]

По найденному из уравнений (15)–(17) значению c(550) другие параметры воды для  $\lambda = 550$  нм определяются из корреляционных уравнений, найденных на основании 70 измерений в различных точках Мирового океана и позволяющих выразить все нужные для расчета видимости ПГХ через показатель ослабления c в точке 550 нм [19]:

$$b(550) = 0.944 c(550) - 0.048, (18)$$

$$b_b(550) = 0.018 c(550),$$
 (19)

$$b_b(550) = 0.0183 c(550) - 0.0094 b$$
 (20)

$$q = \sqrt{2(0.021 + 0.7656b_b/b)^{-1}}$$
 (21)

Формула (19) относится к прибрежным водам («Case 2»), формула (20) — к чистым океанским водам («Case 1»). Приближенно можно считать, что граница между этими двумя типами вод лежит в районе  $z_d \cong 15\text{-}20$  м ( $c \cong 0.4\text{-}0.5 \text{ м}^{-1}$ ).

**Оптическая модель океанической атмосферы.** Выше было показано, что для расчета контраста и ДВ необходимо знать следующие характеристики светового поля в океанической атмосфере: пропускание слоя атмосферы  $T_A(H)$  и  $T_A^{\downarrow}(H)$ , коэффициент яркости атмосферной дымки  $\rho_A(H)$  и отношение диффузной и полной облученностей поверхности моря у при длине волны  $\lambda = 550$  нм. Все они являются функциями первичных оптических характеристик атмосферы: показателя рассеяния и индикатрисы рассеяния для аэрозольной и рэлеевской составляющих и их изменения с высотой (поглощением в атмосфере при  $\lambda = 550$  нм можно пренебречь). В течение последних нескольких десятков лет в связи с

развитием спутниковых «датчиков цвета» было разработано много моделей светового поля в атмосфере, от самой простой, учитывающей только однократное рассеяние [20], до очень сложных [21], основанных на модели аэрозоля Шеттла и Фенна, требующей послойного задания относительной влажности и распределения аэрозольных частиц по размерам.

Мы предлагаем использовать для расчета обратно рассеянной яркости и пропускания океанической атмосферы значительно более простую, но достаточно точную модель, учитывающую многократное рассеяние, пригодную для решения задач видения и дистанционного зондирования. Эта модель основана на классической формуле Соболева [22], уточненной эмпирическими коэффициентами, полученными обработкой результатов расчетов методом Монте-Карло [2].

Опуская формульное описание этой модели (она подробно изложена в обзорной статье, помещенной в первом выпуске данного сборника [23]), отметим ее основные особенности.

Входом в модель является наиболее распространенная и изученная характеристика атмосферы - метеорологическая дальность видимости (МДВ), связанная с аэрозольной оптической толщиной атмосферы  $\tau_{0a}$  соотношением [1]:

$$\tau_{0a}$$
 (550) = 3.9/МДВ - 0.012.

По многолетним измерениям лаборатории оптики СПб Филиала ИО РАН, для  $\lambda=550$  нм  $\tau_{0a}=0.07\pm0.02$  в открытом океане и  $0.20\pm0.10$  в прибрежных районах и внутренних морях (рэлеевская оптическая толщина  $\tau_{0r}(550)=0.098$ )). Коэффициент яркости атмосферной дымки  $\rho_A(H)$  и пропускание слоя атмосферы  $T_A(H)$  и  $T_A^{\downarrow}(H)$  выражаются в этой модели через оптическую толщину  $\tau_H=\tau_a+\tau_r$  слоя атмосферы толщиной H (сумма аэрозольной и рэлеевской компонент), аэрозольную индикатрису рассеяния Хеньи-Гринстейна с параметрами, рекомендованными для океанической атмосферы, и известную рэлеевскую индикатрису. Оптические толщины слоя  $\tau_a$  и  $\tau_r$  выражаются через оптические толщины всей атмосферы  $\tau_{0a}$ ,  $\tau_{0r}$  по экспоненциальной модели Шифрина-Минина [24]. Отношение диффузной и полной облученностей y для  $\lambda=550$  нм, рассчитанное по нашей модели, слабо меняется с высотой Солнца, и для стандартной морской атмосферы в ясную погоду для  $\theta_0=20$ , 40 и  $60^{\circ}$  y=0.16, 0.18, 0.21, что согласуется с экспериментальными данными [25].

**Учет поверхностного волнения.** Волнение поверхности при наблюдении подводных объектов из атмосферы приводит к следующим эффектам:

- кроме света неба, отраженного от поверхности, появляется засветка, обусловленная попаданием в глаз прямого света солнца, отраженного от поверхности. Эта составляющая яркости определяется коэффициентом яркости взволнованной поверхности  $\rho_{\alpha}^{dir}$ ;
- при наблюдении через взволнованную поверхность происходит искажение изображения, вызванное преломлением идущего от объекта света на наклонных участках поверхности;
- в воспринимаемой яркости появляются дополнительные внешние шумы, вызванные случайными колебаниями помехи обратного рассеяния.

Рассмотрим, как учитываются перечисленные эффекты.

**Коэффициенты яркости взволнованной поверхности** от прямого солнечного света  $(\rho_s^{dir})$ , рассчитанные по формулам Мулламаа [26] для разных скоростей ветра и зенитных углов Солнца, приведены в табл. 1 [1]. При расчете контраста величина  $\rho_s$  рассчитывается по формуле (7), где значения  $\rho_s^{dir}$  берутся из данной таблицы.

*Искажение изображения поверхностным волнением.* Величина  $k_s$  – изменение контраста из-за поверхностных волн - выражается простой зависимостью от  $\psi$ , V, z и H

[27], если время наблюдения t превышает 5–10 с. Однако при визуальном наблюдении, когда  $t \approx 0.1$  с, зависимость контраста от волнения значительно сложнее. Теоретические [28] и экспериментальные [29] исследования показали, что при наблюдении мелких деталей объекта волнение может до неузнаваемости исказить его структуру. Однако, как показано в [1], при наблюдении крупных объектов искажения можно не учитывать, если выполняется условие - максимальное смещение изображения из-за волнения меньше размера разрешаемого элемента:

$$l \gg 0.035 z \sqrt{V}$$

Для V = 10 м/с и z = 20 м искажением изображения можно пренебречь, если l >> 2 м. Поэтому в этом случае при размере элемента 5 и 10 м искажение изображения можно не учитывать.

Учет внешних шумов не меняет значения визуального контраста К', но изменяет пороговый контраст и, следовательно, дальность видимости.

По данным [1], дисперсия флуктуаций яркости, обусловленных волнением, выражается формулой:

$$\alpha_{\theta}^{2} \approx 5 \cdot 10^{-3} \cdot \left[ b^{(H)} \right]^{2} \int_{x_{0}}^{\infty} e^{-x^{2}} \frac{dx}{x}$$

$$x_{0} = \Omega_{0} H^{2} q_{0}^{2} / 2\pi,$$
(22)

через параметр

$$x_0 = \Omega_0 H^2 q_0^2 / 2\pi, \tag{23}$$

где  $\Omega_0 = 9 \cdot 10^{-8}$  - телесный угол, определяющий разрешение глаза;  $q_0$  - параметр спектра волнения Пирсона-Московица:

$$q_0^2 = 0.74 \cdot g^2 / V^4; \tag{24}$$

 $g = 9.81 \text{ м/c}^2$  и коэффициент  $b^{(H)}$ , пропорциональный градиенту яркости неба, для случая наблюдения в надир равный

$$b^{(H)} = \frac{4\cos^2\theta_0}{\tan\theta_0(1+\cos^2\theta_0)}.$$
 (25)

При наблюдении глазом происходит процесс фильтрации, который уменьшает флуктуации, так что результирующая величина:

$$\tilde{\alpha}^2 = \alpha_a^2 \cdot f \,. \tag{26}$$

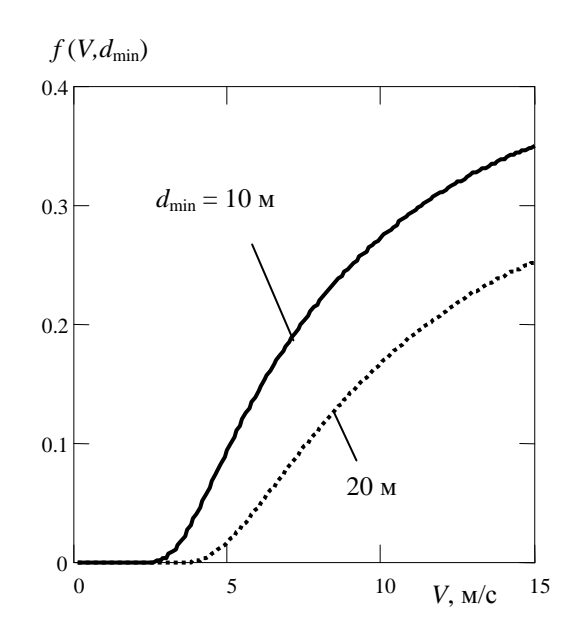
К сожалению, в настоящее время нет достаточно строгой теории и экспериментов, позволяющих рассчитать коэффициент уменьшения флуктуаций при пространственной фильтрации (f). Вместе с тем, есть основания полагать, что этот коэффициент не должен сильно отличаться от параметра

$$f(V, d_{min}) = \left[ \int_{d_{min}}^{\infty} exp \left[ -\frac{0.74(9.8)^{2} \lambda^{2}}{4\pi^{2} V^{4}} \right] \frac{d\lambda}{\lambda} \right] \cdot \left[ \int_{0.1}^{\infty} exp \left[ -\frac{0.74(9.8)^{2} \lambda^{2}}{4\pi^{2} V^{4}} \right] \frac{d\lambda}{\lambda} \right]^{-1},$$

который характеризует относительный вклад волн с длинами  $\lambda > d_{\min}$  в дисперсию уклонов поверхности. Результаты расчета функции f для  $d_{\min}=10$  и 20 м показаны на рис. 2.

В соответствии с [1], влияние внешних шумов сказывается в изменении контрастной чувствительности глаза, выражаемой формулой:

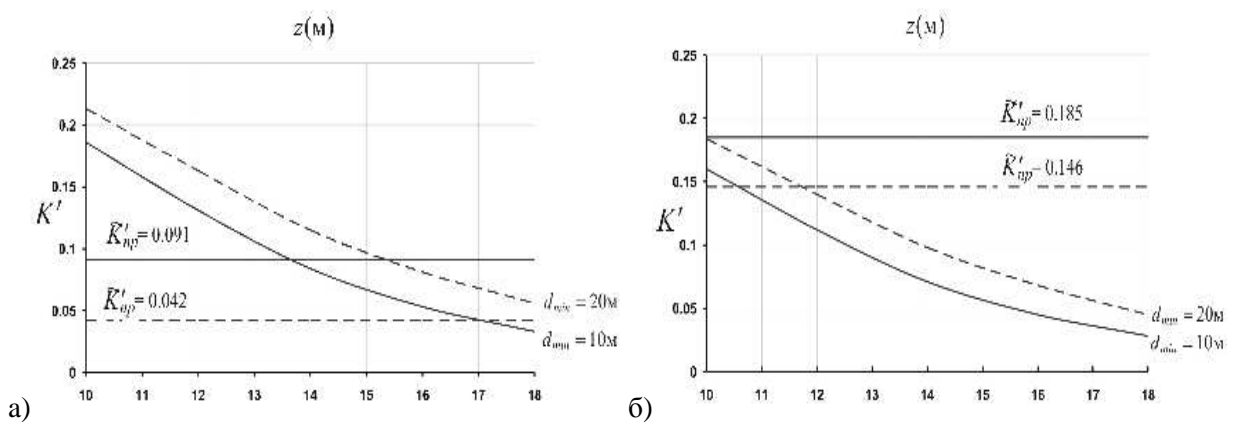
$$\tilde{K}'_{np} = \sqrt{K'_{np}^2 + \tilde{\alpha}^2} = K'_{np} \sqrt{1 + \frac{\tilde{\alpha}^2}{K'_{np}^2}}$$
 (27)



**Рис. 2.** Коэффициент уменьшения флуктуаций в результате пространственной фильтрации в зависимости от скорости ветра V

Пример расчета дальности видимости при наблюдении через взволнованную поверхность. Зададимся зенитным углом Солнца  $\theta_0 = 40^\circ$ , (соответственно, доля света неба в облученности поверхности y = 0.18), скоростью ветра V = 5 и 10 м/с, высотой наблюдателя над поверхностью моря H = 1.5 км, прозрачностью по диску Секки  $z_d = 20$  м, минимальным размером объекта  $d_{\min} = 10$  и 20 м (размер элемента разрешения l = 5 и 10 м соответственно),  $d_{\max} = 100 \text{ м}$ , тип воды – Case 2, МДВ = 18 км ( $\tau_{0a}$ (550) = 0.2). Вычисляем контраст K для разных глубин погружения объекта z по формулам (5)-(7) со значениями  $\rho_s^{dir}$ , взятыми из табл. 1, (8), (9) при  $\psi = z/(2l)$ , (10), (11)-(14). Bxoдящие в эти формулы  $\Pi\Gamma X$  – показатели c, b, a = c - b, b<sub>b</sub>, q рассчитывались по формулам (15), (16), (18), (19), (21), а па-

раметры светового поля в атмосфере – по описанной выше модели и оказались равны: коэффициент яркости атмосферной дымки  $\rho_A(H) = 0.011$ , а пропускание слоя атмосферы  $T_A(H) = 0.981$  и  $T_A^{\downarrow}(H) = 0.972$ . Рассчитанный контраст K пересчитывался в визуальный контраст K по (2). Результаты расчета приведены на рис. 3 и 4.

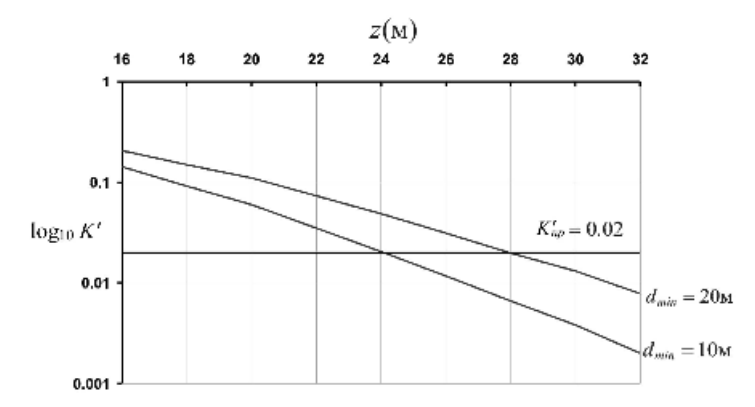


**Рис. 3.** Визуальный контраст K' (кривые) и пороговая контрастная чувствительность зрения  $\widetilde{K}'_{\rm np}$  (прямые) для минимального размера объекта  $d_{\rm min}=10$  м (сплошные линии) и  $d_{\rm min}=20$  м (пунктир) в зависимости от глубины погружения объекта z при наблюдении c высоты 1.5 км и скорости ветра V=5 м/c (a) и V=10 м/c (б)

Горизонтальные прямые на этих рисунках соответствуют значениям порогового контраста  $\tilde{K}'_{\rm np}$ , рассчитанного с учетом поверхностного волнения по формулам (27), (22)-(26) и значениям f из рис. 2. Из сравнения пороговых значений  $\tilde{K}'_{\rm np}$  с контрастами из рис. 3 видно, что предельная дальность видимости с учетом флуктуаций яркости, вызванных волнением, при  $\theta_0 = 40^\circ$ , V = 5 м/с и H = 1.5 км составляет около 13 м при  $d_{\rm min} = 10$  м

и около 19 м при  $d_{\min}=20$  м (V=5 м/с); около 10 м при  $d_{\min}=10$  м и около 12 м при  $d_{\min}=20$  м (V=10 м/с).

Чтобы представить, насколько волнение уменьшает дальность видимости, рассчитаем контраст при тех же условиях, что в предыдущем примере, но при наблюдении через гладкую поверхность ( $\rho_s^{dir}=0$ ). Результаты расчета показаны на рис. 4, прямые линии на котором соответствуют пороговой контрастной чувствительности глаза в отсутствие волнения  $K'_{\rm np}=0.02$ . Из рисунка видно, что при  $K'=K_{\rm np}'=0.02$ ,  $z_{\rm np}=21$  м для  $d_{\rm min}=10$  м и  $z_{\rm np}=24$  м для  $d_{\rm min}=20$  м.



**Рис. 4.** Визуальный контраст K' (кривые) и пороговая контрастная чувствительность зрения  $\widetilde{K}'_{\rm np}$  (прямая) в зависимости от глубины погружения z объекта при наблюдении c высоты 1.5 км через гладкую поверхность

Рассчитанные в примере дальности видимости сведены в табл. 2.

Таблица 2

Дальность видимости подводного объекта  $z_{\rm np}$  с минимальным размером  $d_{\rm min}$  с высоты 1.5 км при скорости ветра V и прозрачности воды  $z_d=20$  м

V 27/2	$d_{ m min}$ , м		
V , m/c	10	20	
0	21	24	
5	13	19	
10	9	12	

**Некоторые рекомендации по стратегии наблюдения через взволнованную поверхность.** В недавно опубликованных работах [2] показано, что влияние поверхностных волн на качество изображения при наблюдении из воздуха зависит не только от высоты Солнца и скорости ветра, но и от направления движения носителя по отношению к направлению ветра и положению Солнца.

Проведенное [2] математическое моделирование изображений морского дна с учетом рассеяния и поглощения света в воде и взаимодействия излучения с взволнованной поверхностью показало:

- 1. При наблюдении через плоскую поверхность видимость дна ухудшается с увеличением зенитного угла Солнца  $\theta_0$ . В то же время при наблюдении через взволнованную поверхность в вертикальном направлении (в надир) увеличение  $\theta_0$  улучшает видимость дна.
- 2. Качество изображения улучшается, когда плоскость солнечного вертикала перпендикулярна направлению ветра.
- 3. Оптимальные условия наблюдения соответствуют направлению движения носителя на Солнце и против Солнца, когда ветровые волны перпендикулярны направлению носителя и направлению на Солнце.

## Дальность видимости крупных подводных объектов...

4. Наихудшие условия наблюдения соответствуют случаю, когда направление солнечных лучей и ветровых волн одно и то же и перпендикулярно к направлению полета.

Указанные закономерности следует учитывать при планировании полета для наблюдения через взволнованную поверхность.

\* \* \*

При наблюдении крупных подводных объектов через взволнованную поверхность моря дальность видимости уменьшается тем больше, чем сильнее волнение. При сильном ветре (10 м/с) дальность видимости в воде с прозрачностью по диску Секки 20 м может быть вдвое меньше, чем при наблюдении через плоскую поверхность. Тем не менее, производительность поиска при наблюдении с авианосителя существенно больше, чем при наблюдении с поверхности, даже при уменьшении дальности видимости. При наблюдении подводных объектов через взволнованную поверхность следует выбирать стратегию наблюдения в соответствии с приведенными рекомендациями.

Работа выполнена при финансовой поддержке РФФИ, грант 07-05-00099.

## Литература

- 1. Долин Л. С., Левин И. М. Справочник по теории подводного видения. Л.: Гидрометеоиздат, 1991.
- 2. *Dolin L., Gilbert G., Levin I., Luchinin A.* Theory of imaging through wavy sea surface. N.Novgorod: Institute of Applied Physics publ., 2006.
- 3. Dolin L. S., Levin I. M. Optics, Underwater // Encyclopedia of Applied Physics. V. 12. New York: VCH Publ., 1995. P.571-601.
- 4. Dolin L. S., Levin I. M. Underwater optics // The Optics Encyclopedia. V.5. Weinheim: Wiley-VCH Publ., 2004. P.3237-3271.
- 5. Оптика в военном деле. Т.1. / Под ред. С.И.Вавилова и М.В.Севастьяновой. М.-Л.: Изд-во АН, 1945.
- 6. Bohren C. Optics, atmospheric // Encyclopedia of Applied Physics. V.12. NewYork: VCH Publ., 1995. P.405-434.
- 7. *Hojerslev N*. Visibility of the sea with special reference to the Secchi disk // SPIE Pros. Ocean Optics VIII. 1986. V.637. P.294-305.
- 8. Preizendorfer R. Hydrologic Optics. Honolulu: NOAA, 1976.
- 9. Роуз А. Зрение человека и электронное зрение. М.: Мир, 1977.
- 10. Таблицы для расчета природной освещенности и видимости. *Под ред. Шаронова В.В.* М.-Л: Изд-во АН, 1945.
- 11. *Зеге Э.П., Кацев И.Л.* Дальность видения подводных объектов // Оптика атмосферы и океана. 1992. Т.5. № 8. С. 789-811.
- 12. *Gordon H*. Can the Lambert Beer law be applied to the diffuse attenuation coefficient of the ocean water? // Limnology and Oceanography. 1989. V.34. No 8. P.1389-1409.
- 13. *Левин И.М.* О коэффициенте яркости моря: учет молекулярного рассеяния // Океанология. 1997. Т.37. № 2. С.192-194.
- 14. Gordon H.R., Brown O.B., Evans R.H., Brown J.W., Smith R.C., Baker K.S., Clark D.K. A semianalytic radiance model of ocean color // Journal of Geophysical Research. 1988. V.93. No D 2, P.10,909-10,924.
- 15. Sydor M., Arnone R.A. Effect of suspended particulate and dissolved organic matter on remote sensing of coastal and riverine waters // Applied Optics. 1997. V.36. No 27. P.6905-6912.
- 16. Levin I. M., Radomyslskaya T. M. Secchi disk theory: a reexamination // Current Research on Remote Sensing, laser Probing, and Imagery in Natural Waters, edited by I.M.Levin. G.D. Gilbert, V.I. Haltrin, and Ch.C. Trees. // Proceeding of SPIE. 2007. V.6615. 66150O (11 pages).
- 17. *Войтов В.И.* Оптические характеристики поверхностных вод. В кн. «Оптика океана». Т.2. / *Под ред. А.С.Монина*. М.: Наука, 1983. С.16-26.
- 18. *Simonot J.-Y.*, *Trout H.* A climatological field of mean optical properties of the World ocean // Journal of Geophysical Research. 1986. V.91. No C5. P.6642-6646.
- 19. Левин И.М., Копелевич О.В. Корреляционные соотношения между первичными гидрооптическими характеристиками в спектральном диапазоне около 550 нм // Океанология. 2007. Т.47. № 3. С.344-348.
- 20. *Gordon H. R., Clark D.K., Brown J.W., Evans R.H., Broenkov W.W.* Phytoplankton pigment concentrations in the Middle Atlantic Bight: comparison of ship determinations and CZCS estimates // Applied Optics. 1983. V.22. No 1. P.20-36.

- 21. *Gordon H.R.* Atmospheric correction in ocean color imagery in the Earth Observing System era // Journal of Geophysical Research. 1997. V.102. No D14. P.17,081-17,106.
- 22. Соболев В.В. Рассеяние света в атмосферах планет. М.: Наука, 1972.
- 23. *Левин И.М.* Перспективные направления развития оптических дистанционных методов исследования океана // Сб.науч.тр. «Фундаментальная и прикладная гидрофизика». СПб: Наука, 2008. № 1. С.14-47.
- 24. Шифрин К.С., Минин И.Н. К теории негоризонтальной видимости // Труды ГГО. 1957. Т.68. С.5-75.
- 25. *Пелевин В.Н.* Солнечное излучение в океане. В кн. «Оптика океана». Т.1. / *Под ред. А.С.Монина*. М.: Наука, 1983. С.249-307.
- 26. Мулламаа Ю-А.Р. Атлас оптических характеристик взволнованной поверхности моря. Тарту: АН Эстонской ССР, 1964.
- 27. *Мулламаа Ю.-А.Р.* Влияние взволнованной поверхности моря на видимость подводных объектов // Изв. АН СССР. Физика атмосферы и океана. 1975. Т.11. № 2. С.199-205.
- 28. Долин Л.С., Лучинин А.Г., Турлаев Д.Г. Алгоритм восстановления изображений подводных объектов, искаженных поверхностным волнением // Изв. РАН. Физика атмосферы и океана. 2004. Т.40. № 6. С.842 -850
- 29. Савченко В.В., Осадчий В.Ю., Левин И.М. Коррекция изображений подводных объектов, искаженных поверхностным волнением // Океанология. 2008. Т.48. № 5. С.28-31.

Статья поступила в редакцию 27.09.2008 г.